

УДК 533.6.011.72

## ДИФФЕРЕНЦИАЛЬНЫЕ ХАРАКТЕРИСТИКИ ПОЛЯ ТЕЧЕНИЯ ПЛОСКОЙ ПЕРЕРАСШИРЕННОЙ СТРУИ В ОКРЕСТНОСТИ КРОМКИ СОПЛА

В. Н. Усков, М. В. Чернышов

Балтийский государственный технический университет "Военмех",  
190005 Санкт-Петербург  
E-mails: uskov@peterlink.ru, mvcher@newmail.ru

Изложен метод теоретического исследования поля течения двумерной (плоскопараллельной или осесимметричной) перерасширенной струи идеального совершенного газа в окрестности кромки сопла. Проанализировано изменение кривизны скачка уплотнения, уходящего от кромки, а также его интенсивности и параметров течения за ним в зависимости от числа Маха, нерасчетности плоской струи и показателя адиабаты газа.

Ключевые слова: сверхзвуковая перерасширенная струя, кривизна скачка, граница струи, сжатый слой.

**Введение. Основные соотношения.** Многие свойства сверхзвуковой газовой струи определяются особенностями ее течения в окрестности кромки сопла (в устье струи). Например, начальная кривизна границы осесимметричной струи обуславливает развитие продольных вихрей Тейлора — Гертлера [1–6], форма падающего скачка уплотнения — завихренность потока в сжатом слое за ним, а отрыв пограничного слоя от стенок сопла, возможно, предсказуем путем анализа свойств уходящего от кромки скачка и границы струи в невязком течении.

В данной работе теоретически, на основе дифференциальных условий динамической совместности [7], исследуется кривизна скачка уплотнения, уходящего от кромки сопла при истечении плоской перерасширенной струи. Показано, что данная величина является важным параметром задачи, с помощью которого анализируются изменения интенсивности скачка, числа Маха, статического и полного давлений в сжатом слое за скачком, кривизна границы струи в окрестности кромки сопла. Исследование проведено в широком диапазоне основных параметров перерасширенной струи невязкого совершенного газа.

Перерасширенная затопленная струя характеризуется нерасчетностью  $n = p/p_n$ , числом Маха  $M$  на выходе из сопла и показателем адиабаты газа  $\gamma$ . В работе принято, что  $p$  и  $M$  обозначают параметры потока в выходном сечении сопла вблизи его кромки (точка  $A$  на рис. 1),  $p_n$  — давление в затопленном пространстве. Интенсивность скачка  $J = p_n/p = 1/n$ . Максимальное значение  $J$  ( $J_{\max} = (1 + \varepsilon)M^2 - \varepsilon$ ,  $\varepsilon = (\gamma - 1)/(\gamma + 1)$ ) соответствует прямому скачку в выходном сечении и определяет нижнюю границу теоретически возможной нерасчетности струи:  $n_{\max} < n < 1$  ( $n_{\max} = 1/J_{\max}$ ).

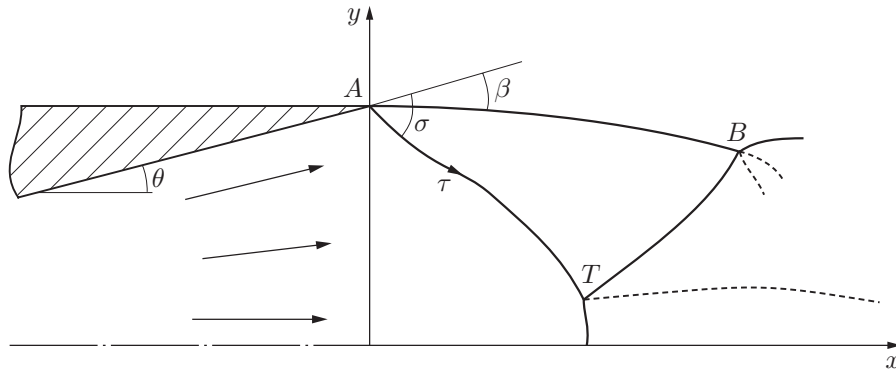


Рис. 1. Схема течения плоской перерасширенной струи в пределах “первой бочки”

Поток за падающим скачком уплотнения  $AT$  является сверхзвуковым при  $n_* < n < 1$  и дозвуковым при  $n_{\max} < n < n_*$ , где  $n_* = 1/J_*$ , а особая интенсивность

$$J_*(M) = \frac{M^2 - 1}{2} + \sqrt{\left(\frac{M^2 - 1}{2}\right)^2 + \varepsilon(M^2 - 1) + 1}$$

соответствует торможению потока с числом Маха до критической скорости за скачком. Особыми [7, 8] называются также значения интенсивностей

$$J_l(M) = \frac{M^2 - 2}{2} + \sqrt{\left(\frac{M^2 - 2}{2}\right)^2 + (1 + 2\varepsilon)(M^2 - 1) + 2}, \quad J_\Gamma(M) = M^2 - 1. \quad (1)$$

Первое из них определяет скачок, отклоняющий поток на наибольший угол  $\beta(M, J, \gamma)$  при фиксированном числе Маха перед ним, а второе — интенсивность скачка, отклоняющего поток на максимальный угол по сравнению со всеми другими скачками той же интенсивности (возникающими при других числах Маха перед ними). Особым интенсивностям соответствуют нерасчетности  $n_l = 1/J_l$ ,  $n_\Gamma = 1/J_\Gamma$ . При всех  $M > 1$  выполняются неравенства  $1 < J_\Gamma < J_* < J_l < J_{\max}$  и соответственно  $n_{\max} < n_l < n_* < n_\Gamma < 1$ .

Зависимости  $n_{\max}(M)$ ,  $n_l(M)$ ,  $n_*(M)$  перерасширенной струи от числа Маха перед скачком показаны кривыми 1–3 на рис. 2, а, б, а зависимость  $n_\Gamma(M)$  — кривой 4 на рис. 2, а.

Производные различных газодинамических переменных струйного течения претерпевают разрыв на падающем скачке и связаны локальными дифференциальными условиями совместности [7] в виде

$$N_{i2} = C_i \sum_{j=1}^4 A_{ij} N_j, \quad i = 1, \dots, 3, \quad (2)$$

где  $N_{i2}$ ,  $N_j$  — неравномерности потока за скачком и перед ним соответственно; коэффициенты  $C_i$  и  $A_{ij}$  зависят от  $M$ ,  $J$  и  $\theta$ . Неравномерности  $N_1 = \partial \ln p / \partial s$ ,  $N_2 = \partial \theta / \partial s$  и  $N_3 = \partial \ln p_0 / \partial n$  характеризуют соответственно неизобаричность, кривизну линий тока и завихренность потока с постоянным полным теплосодержанием;  $N_4 \equiv K_\sigma$  — кривизна скачка. Условия (2) определяют неравномерности потока в сжатом слое непосредственно за скачком найденной кривизны, если известно поле течения перед ним.

Условие изобаричности течения ( $N_{12} = 0$ ) вдоль свободной поверхности (границы струи)  $AB$  (см. рис. 1) определяет искомую кривизну скачка

$$K_\sigma = -\frac{1}{A_{14}} \sum_{j=1}^3 A_{1j} N_j, \quad (3)$$

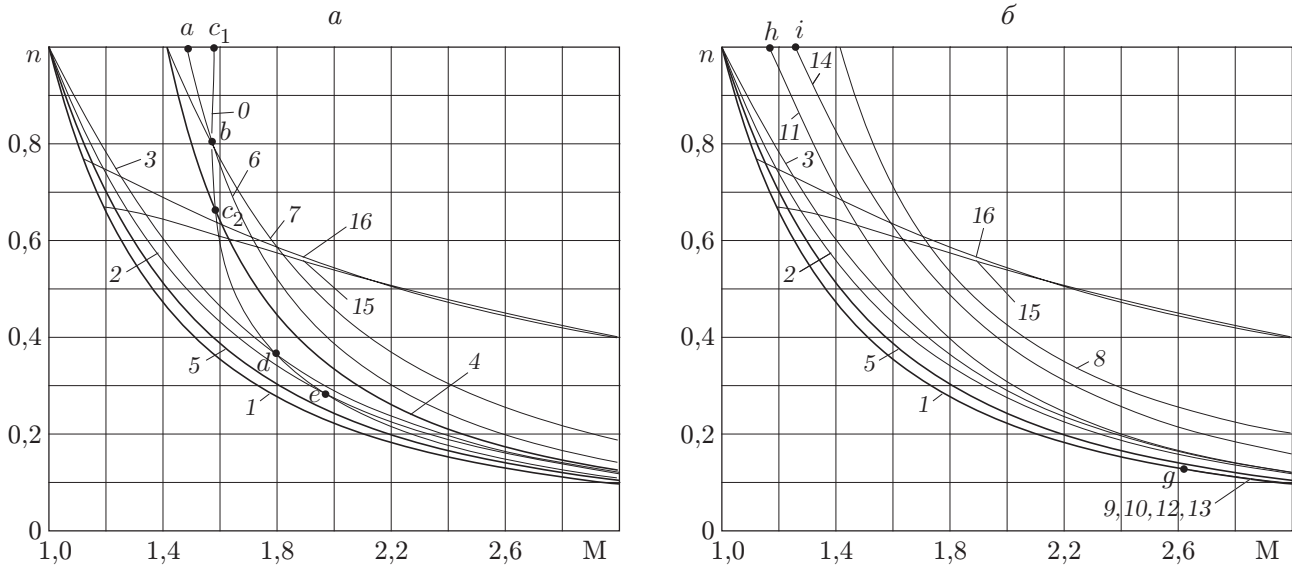


Рис. 2. Нерасчетности струи, соответствующие особенностям скачка уплотнения (а), границы струи и течения за скачком (б) в окрестности кромки сопла

от которой зависит кривизна  $N_{22} \equiv K_\tau$  границы струи:

$$K_\tau = \frac{C_2}{A_{15}} \sum_{j=1}^3 (A_{2j}A_{14} - A_{1j}A_{24})N_j.$$

Зависимость (3), уравнения движения двумерного потока газа перед скачком и за ним в “естественной” системе координат  $(s, n)$

$$\frac{M^2 - 1}{\gamma M^2} N_1 + \frac{\partial \theta}{\partial n} + N_4 \sin \theta = 0, \quad \gamma M^2 N_2 = -\frac{\partial \ln p}{\partial n}, \quad \frac{\partial p_0}{\partial s} = 0$$

и известные соотношения между формой скачка, его интенсивностью и числами Маха на его сторонах [7]

$$J = (1 + \varepsilon) M^2 \sin^2 \sigma - \varepsilon,$$

$$\operatorname{tg} |\beta| = \sqrt{\frac{J_{\max} - J}{J + \varepsilon}} \frac{(1 - \varepsilon)(J - 1)}{J_{\max} + \varepsilon - (1 - \varepsilon)(J - 1)}, \quad M_2 = \sqrt{\frac{(J + \varepsilon) M^2 - (1 - \varepsilon)(J^2 - 1)}{J(1 + \varepsilon J)}}$$

( $\sigma$  — угол наклона скачка к вектору скорости потока перед ним) после преобразований определяют локальные изменения интенсивности и числа Маха за скачком по направлению  $\tau$  вдоль него:

$$\begin{aligned} \frac{dJ}{d\tau} &= -2(J + \varepsilon)(A_1 N_1 + A_2 N_2 + A_3 N_3 + q K_\sigma), \\ \frac{dM_2}{d\tau} &= -[1 + \varepsilon(M_2^2 - 1)] \left( \frac{M_2 N_{22}}{1 - \varepsilon} + \frac{N_{32}}{(1 + \varepsilon)M_2} \right) \sin(\sigma - \beta). \end{aligned} \quad (4)$$

Здесь  $c = \sqrt{(J + \varepsilon)/(J_{\max} + \varepsilon)}$ ;  $q = \sqrt{(J_{\max} - J)/(J + \varepsilon)}$ ;  $A_1 = s[1 - (1 - 2\varepsilon)(M^2 - 1)]/[(1 + \varepsilon)M^2]$ ;  $s = \sqrt{(J_{\max} - J)/(J_{\max} + \varepsilon)}$ ;  $A_2 = c[(1 + \varepsilon)(M^2 - 1)]/(1 - \varepsilon - q^2)$ ;  $A_3 = c[1 + \varepsilon(M^2 - 1)]/(J_{\max} + \varepsilon)$ .

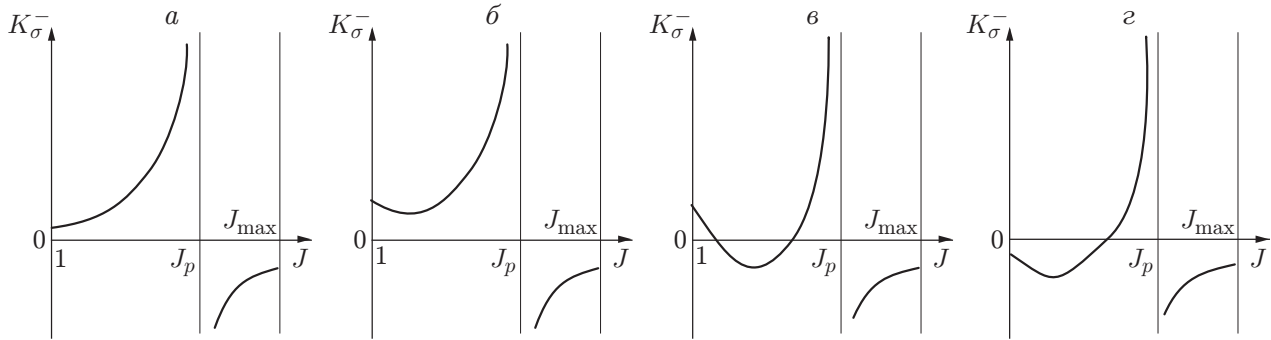


Рис. 3. Изменение кривизны падающего скачка в зависимости от его интенсивности:  
 а —  $M < M_a$ ; б —  $M_a < M < M_b$ ; в —  $M_b < M < M_c$ ; г —  $M > M_c$

**Кривизна скачка уплотнения в плоской перерасширенной струе.** Пусть для определенности параметры изоэнтропического течения перед падающим скачком описываются моделью цилиндрического источника (см. рис. 1). Этой моделью обычно пользуются при описании истечения из клиновидного (с полууглом раствора  $\theta > 0$ ) или в частном случае профилированного ( $\theta = 0$ ) сопла. Дифференцирование известных соотношений [9] позволяет выявить неизобаричность потока перед скачком на кромке:

$$N_1 = -\gamma M^2 \sin \theta / [(M^2 - 1)r]$$

( $r$  — расстояние от кромки сопла до плоскости симметрии). Ввиду прямолинейности линий тока и отсутствия завихренности  $N_2 = N_3 = 0$ . Соотношение (3) дает возможность провести анализ влияния параметров задачи  $M, n, \gamma, \theta$  на особенности поля течения в окрестности кромки сопла. В частности, кривизна скачка монотонно зависит от угла полураствора (пропорциональна величине  $\sin \theta$ ). Во всех дальнейших примерах расчета рассматриваются безразмерная кривизна  $K_{\sigma}^{-} = rK_{\sigma} / \sin \theta$  и показатель адиабаты  $\gamma = 1,4$ .

При малых числах Маха величина  $K_{\sigma}^{-}$  положительна (скачок  $AT$  на рис. 1 выпуклый вниз в окрестности кромки) и возрастает как функция интенсивности скачка на участке  $(1; J_p)$ , стремясь при  $J \rightarrow J_p$  к бесконечности (рис. 3, а). Интенсивность  $J_p(M) \in (J_l; J_{max})$  (так называемая точка постоянного давления) находится из условия  $A_{14} = 0$  и всегда соответствует дозвуковому течению за падающим скачком. Соответствующая нерасчетность струи  $n_p = 1/J_p$  показана на рис. 2 кривой 5. При  $J > J_p$  кривизна отрицательна. При всех особых значениях интенсивности, не равных  $J_p$ , кривизна скачка конечна. В частности, при  $J \rightarrow 1$  (вырождение в слабый разрыв), при  $J \rightarrow J_{max}$  (прямой скачок) и при  $J = J_{\Gamma}(M)$  она равна

$$\lim_{J \rightarrow 1} K_{\sigma}^{-} = -\frac{(1 - 2\varepsilon)M^2 - 2(1 - \varepsilon)}{(1 - \varepsilon)M(M^2 - 1)}, \quad \lim_{J \rightarrow J_{max}} K_{\sigma}^{-} = -\frac{M^2}{(1 - \varepsilon)(M^2 - 1)},$$

$$\lim_{J \rightarrow J_{\Gamma}} K_{\sigma}^{-} = -\frac{[(1 - 2\varepsilon)M^2 - 2(1 - \varepsilon)]\sqrt{M^2 - 1 + \varepsilon}}{(1 - \varepsilon)\sqrt{1 + \varepsilon}M(M^2 - 1)}.$$

Увеличение числа Маха до значения  $M_a = \sqrt{(2 - \varepsilon)/(1 - \varepsilon)} = 1,483$  приводит к возникновению минимума кривизны (рис. 3, б) — сначала в точке  $J = 1$ . Нерасчетность  $n_{min} = 1/J_{min}$ , соответствующая минимуму кривизны скачка, отображена на рис. 2, а кривой 6. Значение кривизны скачка в точке минимума падает до нуля при числе Маха  $M_b = 1,571$  и интенсивности  $J_b = 1,242$ , а в дальнейшем становится отрицательным

(рис. 3, в). При произвольном показателе адиабаты газа значения  $M_b$  и  $J_b$  — наибольшие вещественные корни уравнений

$$(3 - 4\varepsilon)^2 M_b^8 - 8(3 - 6\varepsilon + 4\varepsilon^2) M_b^6 + 8(1 - 3\varepsilon + 4\varepsilon^2) M_b^4 + 32\varepsilon(1 - \varepsilon) M_b^2 + 16(1 - \varepsilon)^2 = 0,$$

$$\sum_{k=0}^4 a_k J_b^k = 0,$$

$$a_4 = (1 - \varepsilon)(3 - 4\varepsilon)(3 + 5\varepsilon), \quad a_3 = -4(1 - \varepsilon)(6 + \varepsilon - 3\varepsilon^2 + 16\varepsilon^3),$$

$$a_2 = -2(7 + 36\varepsilon - 45\varepsilon^2 - 94\varepsilon^3 + 32\varepsilon^4 - 32\varepsilon^5), \quad a_1 = 4(4 + 11\varepsilon + 6\varepsilon^2 + 39\varepsilon^3 + 52\varepsilon^4 - 16\varepsilon^5),$$

$$a_0 = 13 + 62\varepsilon + 85\varepsilon^2 - 16\varepsilon^4 + 48\varepsilon^5.$$

Кривая  $\theta$  на рис. 2, а определяет нерасчетности струи, при которых от кромки сопла уходит скачок нулевой кривизны.

При числе Маха  $M_c = \sqrt{2(1 - \varepsilon)/(1 - 2\varepsilon)} = 1,581$  впервые становится отрицательной кривизна скачка, вырождающегося в слабый разрыв (точка  $c_1$  на рис. 2, а). Другое значение интенсивности скачка, обладающего нулевой кривизной, при том же числе Маха равно значению  $J_\Gamma(M_c) = 1/(1 - 2\varepsilon) = 1,5$  и соответствует на рис. 2, а точке  $c_2$ . При  $M > M_c$  интенсивность скачка нулевой кривизны быстро растет (кривая  $\theta$  на рис. 2, а) и достигает значения  $J_d = J_*(M_d) = 2,699$  при  $M_d = 1,787$ . Течение за скачком, прямолинейным вблизи кромки сопла, становится дозвуковым. Число Маха  $M_d$  и интенсивность  $J_d$  — наибольшие вещественные корни уравнений

$$2(1 - 4\varepsilon)(1 - 2\varepsilon) M_d^6 - (17 - 73\varepsilon + 96\varepsilon^2 - 64\varepsilon^3) M_d^4 + 4(1 - \varepsilon)(9 - 24\varepsilon + 32\varepsilon^2) M_d^2 - 16(1 - 4\varepsilon)(1 - \varepsilon)^2 = 0,$$

$$2(1 - 2\varepsilon) J_d^3 - (1 + \varepsilon + 8\varepsilon^2) J_d^2 - (3 + 5\varepsilon) J_d - (1 - \varepsilon)(1 + 3\varepsilon) = 0.$$

При числе Маха  $M_e = 1,974$  точка нулевой кривизны достигает значения  $J_e = J_l(M_e) = 3,549$ , причем  $M_e$  и  $J_e$  — наибольшие корни уравнений

$$(1 - 2\varepsilon) M_e^6 - (1 + 7\varepsilon - 16\varepsilon^2 + 16\varepsilon^3) M_e^4 - 8(1 - \varepsilon)(1 - 3\varepsilon + 4\varepsilon^2) M_e^2 + 8(1 - 2\varepsilon)(1 - \varepsilon)^2 = 0,$$

$$(1 - 2\varepsilon) J_e^3 - \varepsilon(3 + 4\varepsilon) J_e^2 - (5 + 2\varepsilon + 4\varepsilon^2) J_e - (2 + 5\varepsilon - 2\varepsilon^2) = 0.$$

В пределе ( $M \rightarrow \infty$ ) кривизны особых скачков отрицательны:

$$\lim_{\substack{J=J_\Gamma \\ M \rightarrow \infty}} K_\sigma^- = \lim_{\substack{J=J_* \\ M \rightarrow \infty}} K_\sigma^- = \lim_{\substack{J=J_l \\ M \rightarrow \infty}} K_\sigma^- = -\frac{1 - 2\varepsilon}{(1 - \varepsilon)\sqrt{1 + \varepsilon}},$$

$$\lim_{\substack{J=J_{\max} \\ M \rightarrow \infty}} K_\sigma^- = -\frac{1}{1 - \varepsilon} = -1,2,$$

и лишь кривизна скачка, вырождающегося в слабый разрыв ( $J \rightarrow 1$ ), стремится к нулю. Интенсивность скачка нулевой кривизны стремится к бесконечности, так что

$$\lim_{M \rightarrow \infty} \frac{J}{M^2} = \frac{3 - \varepsilon - 4\varepsilon^2}{3(1 - \varepsilon)} = 1,089.$$

При больших числах Маха особые интенсивности скачков таковы, что

$$\lim_{M \rightarrow \infty} \frac{J_\Gamma}{M^2} = \lim_{M \rightarrow \infty} \frac{J_*}{M^2} = \lim_{M \rightarrow \infty} \frac{J_l}{M^2} = 1, \quad \lim_{M \rightarrow \infty} \frac{J_p}{M^2} = \frac{3(1 + \varepsilon)}{3 + \varepsilon} = 1,105.$$

Точка нулевой кривизны при больших числах Маха соответствует сильному скачку с дозвуковым течением за ним.

Интенсивность  $J_{\min}$  скачка минимальной кривизны, напротив, соответствует сверхзвуковому течению в сжатом слое (см. кривую *б* на рис. 2, *а*). При больших числах Маха она описывается соотношением

$$\lim_{M \rightarrow \infty} \frac{J_{\min}}{M^2} = \frac{(1 + \varepsilon)(9 + 9\varepsilon + 2\varepsilon^2 - 2\varepsilon\sqrt{18 - 18\varepsilon + \varepsilon^2})}{3(3 - 2\varepsilon - \varepsilon^2)} = 0,913,$$

а безразмерная кривизна этого скачка стремится к величине

$$\lim_{\substack{J=J_{\min} \\ M \rightarrow \infty}} K_{\sigma}^{-} = \sqrt{\frac{81 - 243\varepsilon + 333\varepsilon^2 - 261\varepsilon^3 + 88\varepsilon^4 + 2\varepsilon^5 - Q}{3(3 + \varepsilon)^3(1 - \varepsilon)^3}} = -0,767,$$

$$Q = 2\varepsilon(1 - \varepsilon)(18 - 18\varepsilon + \varepsilon^2)^{3/2}.$$

**Изменение интенсивности падающего скачка в окрестности кромки сопла.**

Изменение интенсивности скачка вблизи кромки описывается производной  $dJ/d\tau$  (соотношение (4)) по направлению от кромки. Анализ этой величины необходим для описания течения в сжатом слое, поскольку интенсивность скачка однозначно определяет коэффициент потерь полного давления и рост энтропии газа на скачке:

$$I = p_{02}/p_0 = (J\Omega^\gamma)^{-(1-\varepsilon)/(2\varepsilon)}, \quad \Delta S = c_v \ln(J\Omega^\gamma). \tag{5}$$

Здесь  $c_v$  — теплоемкость при постоянном объеме;  $\Omega = (1 + \varepsilon J)/(J + \varepsilon)$  — отношение удельных объемов за скачком и перед ним согласно ударной адиабате Ренкина — Гюгонио. Производная  $dJ/d\tau$ , следовательно, показывает направление изменения полного давления и роста энтропии газа при переходе от одной линии тока к другой в сжатом слое, как и пропорциональная  $dJ/d\tau$  аналогичная производная от энтропии характеризует абсолютную величину вектора вихря скорости в сжатом слое.

Согласно выражению (4) при использовании модели течения от источника производная  $dJ/d\tau$  пропорциональна величине  $\sin \theta/r$ . В частности, при  $\theta = 0$  интенсивность прямолинейного скачка уплотнения в равномерном потоке неизменна до точки отражения. В дальнейшем рассматривается безразмерная величина  $W_J = (r/\sin \theta) dJ/d\tau$ , не зависящая ни от радиуса выходного сечения сопла, ни от его полуугла раствора.

Безразмерная производная  $W_J$  равна нулю (рис. 4) как в случае образования прямого скачка ( $J = J_{\max}$ ), так и при вырождении скачка уплотнения в слабый разрыв ( $J \rightarrow 1$ ). Последнее свидетельствует о переходе от скачка, присоединенного к кромке, к висячему

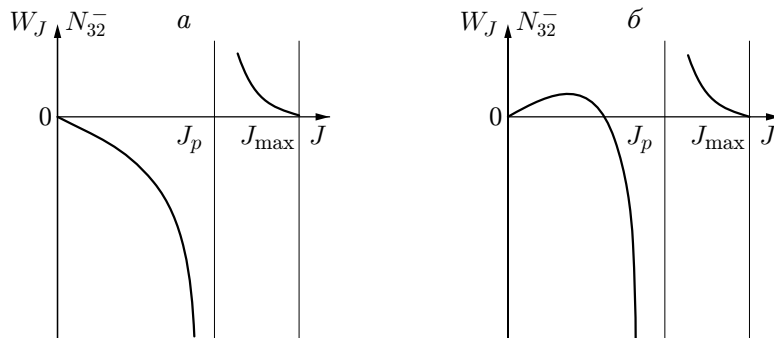


Рис. 4. Зависимости  $W_J(J)$  и  $N_{32}^-(J)$  при  $M < \sqrt{2}$  (*а*) и  $M > \sqrt{2}$  (*б*)

скачку на некотором расстоянии от нее при смене режима перерасширения на расчетное истечение.

При  $M < \sqrt{2}$  величина  $W_J$  отрицательна и монотонно убывает на участке  $(1; J_p)$ , стремясь при  $J \rightarrow J_p$  к бесконечному значению (рис. 4,а). Следовательно, скачки уплотнения, образующиеся в перерасширенной струе с  $M < \sqrt{2}$ , при подходе к плоскости симметрии обнаруживают тенденцию к ослаблению. На участке  $(J_p; J_{\max})$  они, напротив, усиливаются, стремясь к превращению в прямой скачок на плоскости симметрии.

При  $M > \sqrt{2}$  и небольшой и умеренной интенсивности скачков производная  $dJ/d\tau > 0$  (рис. 4,б), и, следовательно, они усиливаются в окрестности кромки сопла. Скачки с нулевым значением производной  $dJ/d\tau$  описываются уравнением (1). Интенсивность скачков, удовлетворяющих неравенству  $J_\Gamma < J < J_p$ , по-прежнему уменьшается при удалении от кромки сопла. Поскольку интенсивность  $J_*$ , соответствующая критическому течению за скачком, удовлетворяет этому неравенству ( $J_\Gamma < J_* < J_p$ ), течение за ослабляющимся скачком может быть как сверхзвуковым, так и дозвуковым. Поведение сильных ( $J > J_p$ ) скачков при изменении числа Маха не меняется.

Максимальные значения функции  $W_J$  на промежутке  $(1; J_\Gamma)$  соответствуют скачкам, рост интенсивности которых в окрестности кромки наиболее велик. Нерасчетности  $n = 1/J$  струй с наиболее быстро усиливающимися скачками показаны кривой 7 на рис. 2,а. При больших числах Маха интенсивности таких скачков и их производные  $W_J$  стремятся к бесконечно большому (порядка  $M^2$ ) значениям и характеризуются соотношениями

$$\lim_{M \rightarrow \infty} \frac{J}{M^2} = L_1, \quad \lim_{M \rightarrow \infty} \frac{W_J}{M^2} = 0,098,$$

где  $L_1 = 0,638$  — единственный вещественный корень уравнения

$$3(3 + \varepsilon)L_1^3 - 2(12 + 12\varepsilon + \varepsilon^2)L_1^2 + 3(1 + \varepsilon)(7 + 4\varepsilon)L_1 - 6(1 + \varepsilon)^2 = 0.$$

Течение за скачками с наиболее быстрым ростом интенсивности является сверхзвуковым.

Таким образом, кривые 4 ( $n = n_\Gamma(M)$ ) и 5 ( $n = n_p(M)$ ) на рис. 2,а разделяют диапазоны нерасчетностей перерасширенной струи, в которых скачок, приходящий на плоскость симметрии, усиливается или (в области между этими кривыми) ослабляется. Если  $M < \sqrt{2}$ , скачки ослабляются при падении от кромки сопла при всех практически реализуемых нерасчетностях из промежутка  $n_p < n < 1$ . Расчет методом характеристик [10], проведенный для струй с  $n = 0,8$  ( $J = 1,25$ ),  $\theta = 15^\circ$  и различными числами Маха истечения, показывает, что участок убывания интенсивности скачка тем протяженнее, чем меньше число Маха. При числе Маха (в данном случае  $M = 1,5$ ), удовлетворяющем уравнению (1), интенсивность скачка монотонно растет до плоскости симметрии.

Изменение показателя адиабаты газа качественно не влияет на решение задачи о производной от интенсивности скачка.

**Экстремальные значения завихренности потока.** Как следует из соотношения (5), коэффициент потерь полного давления на скачке при фиксированном значении  $\gamma$  — функция только интенсивности скачка. Градиент полного давления

$$N_{32} = \frac{\partial \ln p_0}{\partial n} = \frac{(1 - \varepsilon)(J - 1)^2 \sqrt{(J_{\max} - J)(J + \varepsilon) + (1 + \varepsilon J)^2}}{2J(J + \varepsilon)(1 + \varepsilon J)^2} \frac{dJ}{d\tau},$$

показывающий изменение величины завихренности потока, имеет тот же знак, что и рассмотренная ранее функция  $W_J(M, J)$ . При изменении нерасчетности струи завихренность потока изменяется практически так же, как показано на рис. 4. Если сверхзвуковая струя близка к расчетной ( $J \rightarrow 1$ ), завихренность потока очень мала. Равны нулю значения завихренности за прямым скачком ( $J = J_{\max}$ ) и в единственной точке — корне функции  $W_J(J)$  на участке  $J \in (1; J_p)$  при  $M < \sqrt{2}$ .

Точки экстремума функции  $N_{32}^-(J) = rN_{32}/\sin\theta$  имеют место при  $M > \sqrt{2}$ . При  $M < 2,569$  эти точки, в отличие от точек экстремума функции  $W_J(J)$ , соответствуют бóльшим интенсивностям падающего скачка (и меньшим значениям нерасчетности струи). При единственных значениях числа Маха и нерасчетности ( $M = 2,569, J = 3,825$ ) экстремумы двух функций совпадают, и далее максимальная завихренность потока достигается при меньших интенсивностях скачка (кривая 8 на рис. 2, б).

Параметры струй, соответствующие экстремумам завихренности, находятся из алгебраических уравнений восьмой степени относительно нерасчетности струи и четвертой степени относительно квадрата ее числа Маха вблизи кромки сопла. К нулю стремятся значения завихренности  $N_{32}^-$  в особых точках  $J_*(M), J_\Gamma(M), J_l(M)$  при  $M \rightarrow \infty$ . В точке экстремума, соответствующей при больших числах Маха интенсивности  $J \approx M^2$ , безразмерная завихренность в сжатом слое стремится к величине  $A = 26,670$  — корню уравнения

$$3\varepsilon A^4 - (9 + 22\varepsilon - 22\varepsilon^2)A^3 - (14 + 31\varepsilon + 44\varepsilon^2)A^2 - (1 + 20\varepsilon + 22\varepsilon^2 + 24\varepsilon^3)A - 2\varepsilon(1 + 4\varepsilon) = 0.$$

**Кривизна границы перерасширенной струи.** Граница струи в окрестности кромки сопла, как правило, выпукла вверх (см., например, рис. 1). Безразмерная кривизна  $K_\tau^-(M, J) = rK_\tau/\sin\theta$  отрицательна, в частности, при падении слабого скачка:

$$\lim_{J \rightarrow 1} K_\tau^-(M, J) = -1/\sqrt{M^2 - 1},$$

что обосновывается также выводами из условий совместности на слабом разрыве [7]. В пределе ( $M \rightarrow \infty$ ) кривизна границы струи за слабым скачком стремится к нулю, а в особых точках  $J_*(M), J_\Gamma(M), J_l(M)$  — к значению  $-1$ . Исключение составляют случаи очень сильного перерасширения (области на рис. 5 справа от бесконечного разрыва кривизны при  $J = J_p$ ). В частности, за прямым скачком (при  $J = J_{\max}(M)$ ) кривизна границы равна нулю, а на промежутке  $J \in (J_p; J_{\max})$  — положительна при небольших числах Маха и имеет корень при  $M > M_g$ , где  $M_g = \sqrt{(4 - 3\varepsilon)/(1 - 3\varepsilon)} = 2,646$ . Нулевые значения кривизны границы струи описываются соотношением

$$M = \sqrt{\frac{3(1 - \varepsilon)J^3 + 2(3 + \varepsilon - 2\varepsilon^2)J^2 - (5 - 13\varepsilon)J - 4\varepsilon(1 - 2\varepsilon) + \sqrt{D}}{2[(3 - \varepsilon)J^2 + (1 + 9\varepsilon)J + 4\varepsilon^2]}}$$

$$D = 9(1 - \varepsilon)^2 J^6 - 4(1 - \varepsilon)(3 - 7\varepsilon + 6\varepsilon^2)J^5 - 2(5 + 22\varepsilon - 43\varepsilon^2 + 16\varepsilon^3 - 8\varepsilon^4)J^4 - 4(3 - 8\varepsilon + 3\varepsilon^2 - 14\varepsilon^3)J^3 + (41 - 2\varepsilon + 41\varepsilon^2 + 16\varepsilon^3)J^2 + 8\varepsilon(7 + \varepsilon)J + 16\varepsilon^2$$

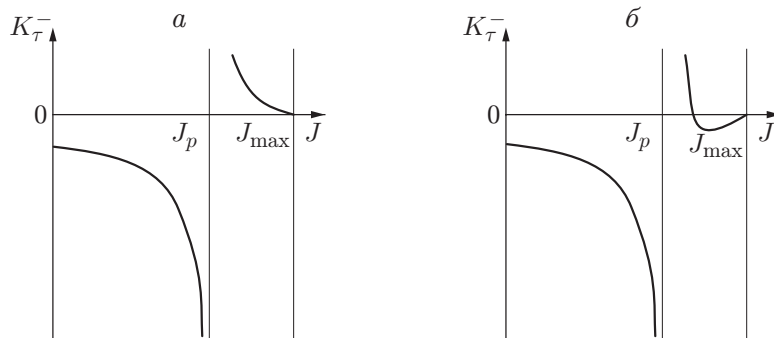


Рис. 5. Кривизна границы струи при  $M < M_g$  (а) и  $M > M_g$  (б)



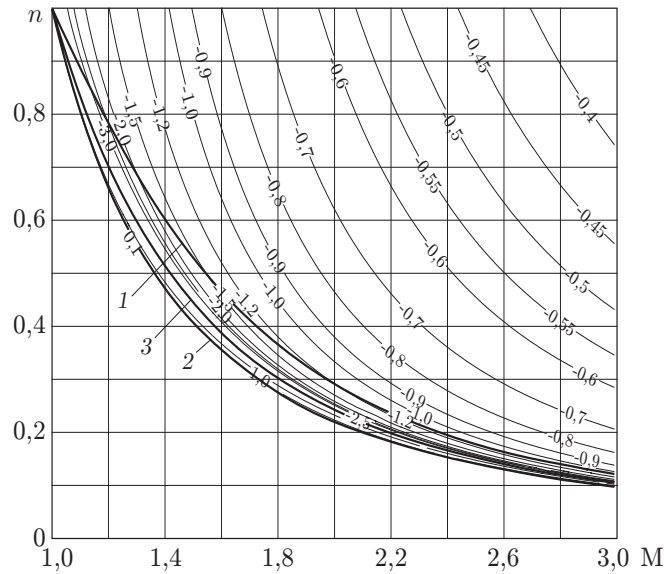


Рис. 6. Изолинии безразмерной кривизны  $K_{\tau}^{-} = rK_{\tau}/\sin \theta$

(кривая 9 на рис. 2,б) и подчиняются закономерности

$$\lim_{M \rightarrow \infty} \frac{J}{M^2} = \frac{3 - \varepsilon}{3(1 - \varepsilon)} = 1,133.$$

Кривизна  $K_{\tau}^{-}$  в точке минимума имеет конечный предел при  $M \rightarrow \infty$  ( $K_{\tau}^{-} \rightarrow -0,207$ ), а интенсивность скачка в этой точке такова, что  $J/M^2 \rightarrow C$ , где значение  $C = 1,153$  определяется уравнением

$$\sum_{k=0}^4 H_k C^k = 0,$$

$$H_4 = 3(3 + \varepsilon)(1 - \varepsilon)^2, \quad H_3 = -2(1 - \varepsilon)(18 + 3\varepsilon - 13\varepsilon^2),$$

$$H_2 = 2(1 - \varepsilon^2)(27 - 8\varepsilon^2), \quad H_1 = -2(1 + \varepsilon)(18 - 3\varepsilon - 13\varepsilon^2), \quad H_0 = 3(3 - \varepsilon)(1 + \varepsilon^2).$$

Минимумы и нулевые значения кривизны границы струи при  $J \in (J_p; J_{\max}]$  показаны соответственно кривыми 9 и 10 на рис. 2,б, практически сливающимися с кривой 1, соответствующей прямым скачкам.

Кривизна границы является важным параметром, влияющим на развитие неустойчивости Тейлора — Гертлера. На рис. 6 видно, что безразмерная кривизна  $K_{\tau}^{-}$  существенно зависит от числа Маха, уменьшаясь по модулю при его увеличении. Переход к дозвуковому течению за скачком ( $n = n_*(M)$ , кривая 1) не оказывает влияния на кривизну границы, а при  $n = n_p(M)$  происходит ее бесконечный разрыв. Если истечение с  $n \in (n_{\max}(M); n_p(M))$  (область между кривыми 2 и 3) действительно реализуется, то малое колебание нерасчетности струи, по-видимому, способно существенно исказить ее границу.

**Изменение статического давления за скачком.** Производная статического давления  $P_w = (\partial \ln p / \partial \tau) (r / \sin \theta)$  за скачком уплотнения определяется, во-первых, уменьшением давления перед скачком по мере его удаления от кромки сопла и, во-вторых, возможным увеличением интенсивности скачка и соответствующим ростом давления за ним. Функция  $P_w(M, J)$  определяется двумя слагаемыми:

$$P_w(M, J) = -\sqrt{\frac{J_{\max} - J}{J_{\max} + \varepsilon}} \frac{\gamma M^2}{M^2 - 1} + \frac{1}{J} W_J(M, J),$$

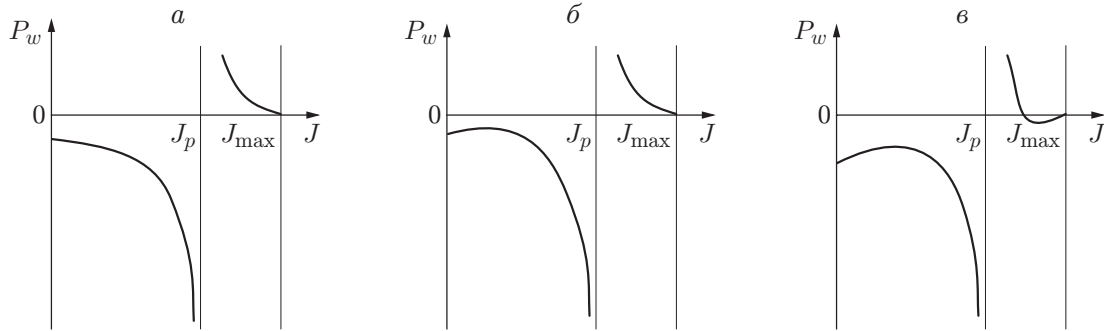


Рис. 7. Производная статического давления при  $M < M_h$  (а),  $M_h < M < M_g$  (б) и  $M > M_g$  (в)

каждое из которых выражает влияние одного из факторов. В частности, при  $J \rightarrow 1$ , когда  $W_J \equiv 0$ , давление за слабым скачком падает:

$$P_w(M, J = 1) = -\gamma M / \sqrt{M^2 - 1},$$

причем при малых числах Маха — особенно быстро. За прямым скачком значение  $P_w(M, J_{\max}) = 0$ .

При малых числах Маха (рис. 7, а, б) функция  $P_w$  строго отрицательна при всех  $J \in [1; J_p)$ , т. е. во всех практически реализуемых случаях схода скачка непосредственно с кромки, и неотрицательна на участке  $(J_p; J_{\max}]$ . При числе Маха

$$M_h = \sqrt{(\sqrt{9 - 4\varepsilon + 4\varepsilon^2} - 3 + 6\varepsilon) / (4\varepsilon)} = 1,166$$

возникает максимум функции  $P_w(J)$  (рис. 7, б). Кривая 11 на рис. 2, б показывает нерасчетность струи в точке этого максимума. Производная давления в точке максимума по-прежнему отрицательна и стремится к значению  $-0,519$  при  $M \rightarrow \infty$ . Следовательно, статическое давление в сжатом слое струи за скачком, как правило, падает.

При  $M = M_g = \sqrt{(4 - 3\varepsilon) / (1 - 3\varepsilon)} = 2,646$  образуется вторая точка экстремума функции  $P_w$  — теперь уже в области больших интенсивностей (рис. 7, в). Функция давления в новой точке минимума стремится к значению  $-0,050$  при  $M \rightarrow \infty$ . При больших числах Маха точки экстремума определяются пределами

$$\lim_{M \rightarrow \infty} \frac{J}{M^2} = C_{1,2}, \quad C_{1,2} = \frac{9 - 13\varepsilon \mp 4\varepsilon \sqrt{\varepsilon(3 + \varepsilon - 3\varepsilon^2)}}{3(3 - 2\varepsilon + \varepsilon^2)}$$

( $C_1 = 1,030$ ,  $C_2 = 1,151$ ). Таким образом, значение интенсивности скачка в первой точке экстремума, равное единице при  $M = M_h$ , при больших числах Маха несколько превышает значения  $J_*(M)$ ,  $J_\Gamma(M)$ ,  $J_l(M)$ . Функция  $P_w$  стремится при  $M \rightarrow \infty$  к одному и тому же значению  $(-\sqrt{\varepsilon(1 + \varepsilon)} / (1 - \varepsilon) = -0,529)$  во всех этих особых точках. Кривые 12 и 13 на рис. 2, б, показывающие значения найденных минимумов и корней функции  $P_w(J)$  в сильно перерасширенных струях, практически сливаются с кривыми 9 и 10, показывающими особые свойства кривизны границы струи, и с кривой 1, соответствующей прямому скачку. При  $\gamma > 2$  ( $\varepsilon > 1/3$ ) вторая точка экстремума не образуется.

**Изменение числа Маха в сжатом слое.** На изменение числа Маха в сжатом слое за скачком также влияют два фактора: расширение газа перед скачком и, следовательно, по мере удаления скачка от кромки сопла увеличение числа Маха, с одной стороны, и возможное увеличение интенсивности скачка с соответствующим уменьшением числа Маха

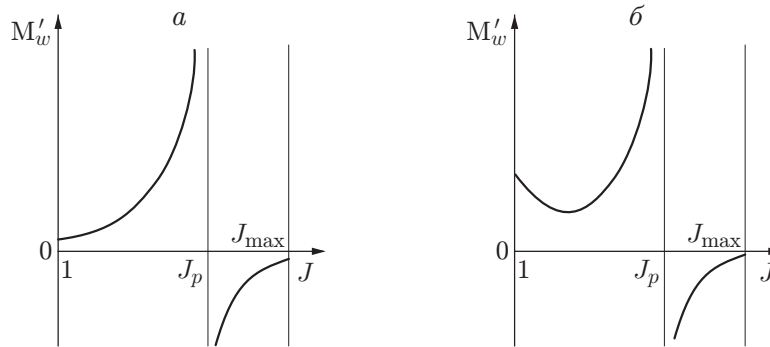


Рис. 8. Производная числа Маха за скачком при  $M < M_i$  (а) и  $M > M_i$  (б)

за ним — с другой. Поэтому выводы предыдущего пункта качественно справедливы и для описания изменения числа Маха в сжатом слое перерасширенной струи.

Как установлено выше, при малых числах Маха интенсивность скачка в окрестности кромки сопла или убывает, или возрастает слабо. Поэтому функция  $M'_w(J)$  отрицательна при небольших  $M$  на всем полуинтервале  $[1; J_p)$ , а при  $J \rightarrow J_p$  терпит бесконечный разрыв (рис. 8,а). В точке  $J = J_{\max}(M)$  производная  $M'_w \equiv 0$ .

При значении числа Маха

$$M_i = \sqrt{(6\varepsilon - 1 + \sqrt{1 + 20\varepsilon + 4\varepsilon^2}) / (8\varepsilon)} = 1,257$$

в точке  $J = 1$  возникает локальный минимум функции  $M'_w(J)$  (рис. 8,б). С ростом числа Маха точка минимума смещается в сторону повышения интенсивности скачка (кривая 14 на рис. 2,б) и описывается пределом

$$\lim_{M \rightarrow \infty} \frac{J}{M^2} = D,$$

где  $D = 0,641$  — корень уравнения

$$(3+\varepsilon)D^4 - 2(1-\varepsilon^2)(3-\varepsilon)(2+\varepsilon)D^3 + 2(1+\varepsilon)(9+5\varepsilon-8\varepsilon^2-2\varepsilon^3)D^2 - 6(2-\varepsilon)(1+\varepsilon)^3D + 3(1+\varepsilon)^3 = 0.$$

В отличие от случаев  $J \rightarrow 1$  и  $J \rightarrow J_p$  функция  $M'_w$  в точке своего локального минимума конечна даже при  $M \rightarrow \infty$  (ее предел равен 0,258 при  $\gamma = 1,4$ ). Конечны и предельные значения функции  $M'_w$  при особых интенсивностях скачка:

$$\lim_{\substack{M \rightarrow \infty \\ J=J_\Gamma}} M'_w = \lim_{\substack{M \rightarrow \infty \\ J=J_*}} M'_w = \lim_{\substack{M \rightarrow \infty \\ J=J_l}} M'_w = \frac{\sqrt{\varepsilon}}{(1-\varepsilon)\sqrt{1+\varepsilon}} = 0,454.$$

Таким образом, число Маха за скачком, уходящим от кромки сопла в плоской перерасширенной струе, растет при его удалении от кромки во всех практически важных случаях. Это означает, в частности, что за скачком интенсивности  $J_*(M)$ , когда число Маха на границе струи становится равным единице, течение в сжатом слое, по крайней мере вблизи кромки, является сверхзвуковым.

Согласно результатам [7] локальное падение статического давления и увеличение числа Маха за уходящим скачком, как правило, имеют место и в осесимметричных перерасширенных струях.

**Дополнительное замечание.** Отрыв потока от стенок сопла при слишком сильном перерасширении потока исключает реализацию найденных особенностей течения. Согласно [11] критическая интенсивность  $J = 1/n$  скачка, вызывающего отрыв турбулентного пограничного слоя, оценивается по И. П. Некрасову:

$$J = 1 + 0,2\gamma M^2 (M^2 - 1)^{-1/4}$$

или по Г. Гедду:

$$J = [(1 + 0,5(\gamma - 1) M^2)/(1 + 0,32(\gamma - 1) M^2)]^{\gamma/(\gamma-1)}.$$

Кривые 15 и 16 на рис. 2, а, б, соответствующие этим нерасчетностям, показывают, что некоторые особенности течения при умеренных числах Маха обычно не реализуются. Однако большинство отмеченных особенностей (смена направления выпуклости скачка, падение его интенсивности и т. п.) соответствует области малых чисел Маха, в которой отрыв потока практически не возникает. Кроме того, существующие методы отсоса пограничного слоя сдвигают отрыв в область меньших нерасчетностей.

**Заключение.** Теоретически установлено, что многие параметры перерасширенной струи в окрестности кромки сопла принимают экстремальные значения. Это обстоятельство можно использовать для оптимизации струйных течений, управления их акустическим полем, вихреобразованием, а также отрывом потока.

#### ЛИТЕРАТУРА

1. Глазнев В. Н., Запрягаев В. И., Усков В. Н. и др. Струйные и нестационарные течения в газовой динамике. Новосибирск: Изд-во СО РАН, 2000.
2. Терехова Н. М. Продольные вихри в осесимметричных струях // Докл. РАН. 1996. Т. 347, № 6. С. 759–762.
3. Терехова Н. М. Динамика неустойчивых колебаний в сверхзвуковой струе // ПМТФ. 1994. Т. 35, № 6. С. 11–17.
4. Терехова Н. М. Продольные вихри в осесимметричных струях // ПМТФ. 1996. Т. 37, № 3. С. 45–57.
5. Запрягаев В. И., Киселев Н. П., Павлов А. А. Влияние кривизны линий тока на интенсивность продольных вихрей в слое смещения сверхзвуковых струй // ПМТФ. 2004. Т. 45, № 3. С. 32–43.
6. Запрягаев В. И., Солотчин А. В., Киселев Н. П. Исследование структуры сверхзвуковой струи при изменении геометрии входного участка сопла // ПМТФ. 2002. Т. 43, № 4. С. 58–64.
7. Адрианов А. Л., Старых А. Л., Усков В. Н. Интерференция стационарных газодинамических разрывов. Новосибирск: Наука. Сиб. отд-ние, 1995.
8. Усков В. Н. Ударные волны и их взаимодействие. Л.: Изд-во Ленингр. мех. ин-та, 1980.
9. Авдудевский В. С., Ашратов Э. А., Иванов А. В., Пирумов У. Г. Газодинамика сверхзвуковых неизобарических струй. М.: Машиностроение, 1989.
10. Кацкова О. Н., Наумова И. Н., Шмыглевский Ю. Д., Шулинщина Н. П. Опыт расчета плоских и осесимметричных сверхзвуковых течений газа методом характеристик. М.: ВЦ АН СССР, 1961.
11. Абрамович Г. Н. Прикладная газовая динамика. М.: Наука, 1976.

*Поступила в редакцию 26/XI 2004 г.,  
в окончательном варианте — 17/VIII 2005 г.*